



Министерство науки и высшего образования
Российской Федерации
Федеральное государственное бюджетное
образовательное учреждение высшего образования
«Московский государственный технический
университет имени Н.Э. Баумана
(национальный исследовательский университет)»
(МГТУ им. Н.Э. Баумана)

Факультет: «Информатика и системы управления»

Кафедра: «Программное обеспечение ЭВМ и информационные технологии»

Лабораторная работа 2 по курсу Моделирование

Студент: Нечитайло Д.В.

Группа: ИУ7-66Б

Преподаватель: Градов В.М.

Москва, 2021 г.

1 Условия и задачи лабораторной работы

Тема лабораторной работы: Программно-алгоритмическая реализация метода Рунге-Кутты 4-го порядка точности при решении системы ОДУ в задаче Коши.

Цель лабораторной работы: Получение навыков разработки алгоритмов решения задачи Коши при реализации моделей, построенных на системе ОДУ, с использованием метода Рунге-Кутты 4-го порядка точности.

Описание алгоритма: Задана система электротехнических уравнений, описывающих разрядный контур, включающий постоянное активное сопротивление R_k , нелинейное сопротивление $R_p(I)$, зависящее от тока I , индуктивность L_k и емкость C_k .

$$\begin{cases} \frac{dI}{dT} = \frac{U - (R_k + R_p(I))I}{L_k} \\ \frac{dU}{dt} = -\frac{I}{C_k} \end{cases}$$

Начальные условия:

$t = 0, I = I_0, U = U_0$. Здесь I, U - ток и напряжение на конденсаторе. Сопротивление R_p рассчитать по формуле:

$$R_p = \frac{l_p}{2\pi R^2 \int_0^1 \sigma(T(z))zdz}$$

Для функции $T(z)$ применить выражения $T(z) = T_0 + (T_w - T_0)z^m$. Параметры T_0, m находятся интерполяцией из таблицы 1 при известном токе I . Коэффициент электропроводности $\sigma(T)$ зависит от T и рассчитывается интерполяцией из таблицы 2.

Таблица 1

I, A	T_0, K	m
0.5	6730	0.50
1	6790	0.55
5	7150	1.7
10	7270	3
50	8010	11
200	9185	32
400	10010	40
800	11140	41
1200	12010	39

Таблица 2

Т, К	σ 1/Ом см
4000	0.031
5000	0.27
6000	2.05
7000	6.06
8000	12.0
9000	19.9
10000	29.6
11000	41.1
12000	54.1
13000	67.7
14000	81.5

Параметры разрядного контура:

$$R = 0.35 \text{ см}$$

$$l_e = 12 \text{ см}$$

$$L_k = 187 * 10^{-6} \text{ Гн}$$

$$C_k = 268 * 10^{-6} \text{ Ф}$$

$$R_k = 0.25 \text{ Ом}$$

$$U_{co} = 1400 \text{ В}$$

$$I_0 = 0.3 \text{ А}$$

$$T_w = 2000 \text{ К}$$

Метод Рунге-Кутта 4-го порядка точности:

$$y_n + 1 = y_n + \frac{k_1 + 2*k_2 + 2*k_3 + k_4}{6}$$

$$z_n + 1 = z_n + \frac{p_1 + 2*p_2 + 2*p_3 + p_4}{6}$$

$$k_1 = h_n f(x_n, y_n, z_n)$$

$$k_2 = h_n f(x_n + \frac{h_n}{2}, y_n + \frac{k_1}{2}, z_n + \frac{p_1}{2})$$

$$k_3 = h_n f(x_n + \frac{h_n}{2}, y_n + \frac{k_2}{2}, z_n + \frac{p_2}{2})$$

$$k_4 = h_n f(x_n + h_n, y_n + k_3, z_n + p_3)$$

$$p_1 = h_n \varphi(x_n, y_n, z_n)$$

$$p_2 = h_n \varphi(x_n + \frac{h_n}{2}, y_n + \frac{k_1}{2}, z_n + \frac{p_1}{2})$$

$$p_3 = h_n \varphi(x_n + \frac{h_n}{2}, y_n + \frac{k_2}{2}, z_n + \frac{p_2}{2})$$

$$p_4 = h_n \varphi(x_n + h_n, y_n + k_3, z_n + p_3)$$

2 Листинг программы

На листинге ?? показан код программы, выводящий агремент с результатами работы методов, которые необходимо было реализовать по условию лабораторной.

Листинг 2.1: код программы

```
1 using System;
2 using System.Collections.Generic;
3 using System.Linq;
4 using System.Text;
5 using System.Threading.Tasks;
6
7 namespace lab2_modeling
8 {
9     class Methods
10    {
11        public Methods()
12        {
13            fillData();
14        }
15
16        private double[,] ItK = {{0.5, 6700, 0.5},
17                                {1, 6790, 0.55},
18                                {5, 7150, 1.7},
19                                {10, 7270, 3},
20                                {50, 8010, 11},
21                                {200, 9185, 32},
22                                {400, 10010, 40},
23                                {800, 11140, 41},
24                                {1200, 12010, 39} };
25
26        private double[,] Tsigma = {{4000, 0.031},
27                                    {5000, 0.27},
28                                    {6000, 2.05},
29                                    {7000, 6.06},
30                                    {8000, 12.0},
```

```

31         {9000, 19.9},
32         {10000, 29.6},
33         {11000, 41.1},
34         {12000, 54.1},
35         {13000, 67.7},
36         {14000, 81.5}};
37
38
39 private static List<double>[] createGraph(int n = 2)
40 {
41     var graph = new List<double>[n];
42     for (int i = 0; i < n; i++)
43     {
44         graph[i] = new List<double>();
45     }
46     return graph;
47 }
48
49 public List<double>[] graph1 = createGraph(2);
50 public List<double>[] graph2 = createGraph(2);
51 public List<double>[] graph3 = createGraph(2);
52 public List<double>[] graph4 = createGraph(2);
53 public List<double>[] graph5 = createGraph(2);
54
55 private Dictionary<string, double> data = new Dictionary<string,
56     double>();
57
58 private void fillData()
59 {
60     data.Add("R", 0.35);
61     data.Add("Le", 12);
62     data.Add("Lk", 0.000187);
63     data.Add("Ck", 0.000268);
64     data.Add("Rk", 0.25);
65     data.Add("Uc0", 1400);
66     data.Add("IO", 0.5);
67     data.Add("Tw", 2000);
68     data.Add("Tbegin", 0);
69     data.Add("Tend", 0.0006);
70     data.Add("Tstep", 1e-6);
71 }
72
73 private double interpolate(double[,] table, double xValue, int
74     xIndex, int yIndex)
75 {
76     bool interpolateIndexFound = false;

```

```

75     double x1 = 0;
76     double x2 = 0;
77     double y1 = 0;
78     double y2 = 0;
79     double yResult = 0;
80     int len = table.Length;
81     if (len == 22)
82         len = 11;
83     else
84         len = 9;
85
86     for (int i = 0; i < len - 1; i++)
87     {
88         if (table[i,xIndex] <= xValue && xValue <= table[i + 1,
89             xIndex])
90         {
91             y1 = table[i, yIndex];
92             y2 = table[i + 1, yIndex];
93             x1 = table[i, xIndex];
94             x2 = table[i + 1, xIndex];
95             interpolateIndexFound = true;
96         }
97     }
98     if (interpolateIndexFound)
99     {
100         yResult = y1 + ((xValue - x1) / (x2 - x1)) * (y2 - y1);
101     }
102     else
103     {
104         if (xValue < table[0, xIndex])
105             yResult = table[0, yIndex];
106         if (xValue > table[len - 1, xIndex])
107             yResult = table[len - 1, yIndex];
108     }
109     return yResult;
110 }
111
112
113 private double integrateSimpson(double I)
114 {
115     double n = 40;
116     double begin = 0;
117     double end = 1;
118     double width = (end - begin) / n;
119     double result = 0;

```



```

120     double x1, x2;
121     for (double step = 0; step < n; step++)
122     {
123         x1 = begin + step * width;
124         x2 = begin + (step + 1) * width;
125         result += (x2 - x1) / 6.0 * (sigmaFunc(I, x1) + 4.0 *
126             sigmaFunc(I, 0.5 * (x1 + x2)) + sigmaFunc(I, x2));
127     }
128     return result;
129 }
130
131 private double calculateRp(double I)
132 {
133     double R = data["R"];
134     double integral = integrateSimpson(I);
135     return data["Le"] / (2 * Math.PI * R * R * integral);
136 }
137
138 private double f_PHI(double t, double I, double U)
139 {
140     return -1 / data["Ck"] * I;
141 }
142
143 private double getTz(double T0, double m, double r)
144 {
145     double z = r;
146     return (data["Tw"] - T0) * Math.Pow(z, m) + T0;
147 }
148
149 private double sigmaFunc(double I, double z)
150 {
151     double m = interpolate(ItK, I, 0, 2);
152     double T0 = interpolate(ItK, I, 0, 1);
153     double Tz = getTz(T0, m, z);
154     double sigma = interpolate(Tsigma, Tz, 0, 1);
155     return z * sigma;
156 }
157
158 private double functionF_4(double t, double I, double U)
159 {
160     double Rp = calculateRp(I);
161     graph3[0].Add(t);
162     graph3[1].Add(Rp);
163     graph4[0].Add(t);
164     graph4[1].Add(I * Rp);
165     return (U - (data["Rk"] + Rp) * I) / data["Lk"];

```

```

165     }
166
167     private double[] Runge4(double xn, double yn, double zn, double hn)
168     {
169         double[] result = new double[2];
170
171         double hn2 = hn / 2;
172         double k1 = hn * functionF_4(xn, yn, zn);
173         double q1 = hn * f_PHI(xn, yn, zn);
174
175         double k2 = hn * functionF_4(xn + hn2, yn + k1 / 2, zn + q1 /
176                                     2);
177         double q2 = hn * f_PHI(xn + hn2, yn + k1 / 2, zn + q1 / 2);
178
179         double k3 = hn * functionF_4(xn + hn2, yn + k2 / 2, zn + q2 /
180                                     2);
181         double q3 = hn * f_PHI(xn + hn2, yn + k2 / 2, zn + q2 / 2);
182
183         double k4 = hn * functionF_4(xn + hn, yn + k3, zn + q3);
184         double q4 = hn * f_PHI(xn + hn, yn + k3, zn + q3);
185
186         double yn_1 = yn + (k1 + 2 * k2 + 2 * k3 + k4) / 6;
187         double zn_1 = zn + (q1 + 2 * q2 + 2 * q3 + q4) / 6;
188
189         result[0] = yn_1;
190         result[1] = zn_1;
191         return result;
192     }
193
194     public void beginCalculations()
195     {
196         double t = data["Tbegin"];
197         double tmax = data["Tend"];
198         double I = data["I0"];
199         double Uc = data["Uc0"];
200         double hn = data["Tstep"];
201         for (double i = t; i < tmax + hn; i += hn)
202         {
203             graph1[0].Add(i);
204             graph1[1].Add(I);
205             graph2[0].Add(i);
206             graph2[1].Add(Uc);
207             graph5[0].Add(i);
208             graph5[1].Add(interpolate(ItK, I, 0, 1));
209             var result = Runge4(i, I, Uc, hn);
210             I = result[0];

```

```

209         Uc =result[1];
210     }
211 }
212 }
213
214 }

```

Результат работы программы:

На рисунках 2.1 - 2.5 графики зависимости от времени импульса t : $I(t)$, $U(t)$, $R_p(t)$, $I(t) * R_p(t)$, $T_0(t)$ при заданных в условиях параметрах разрядного контура.

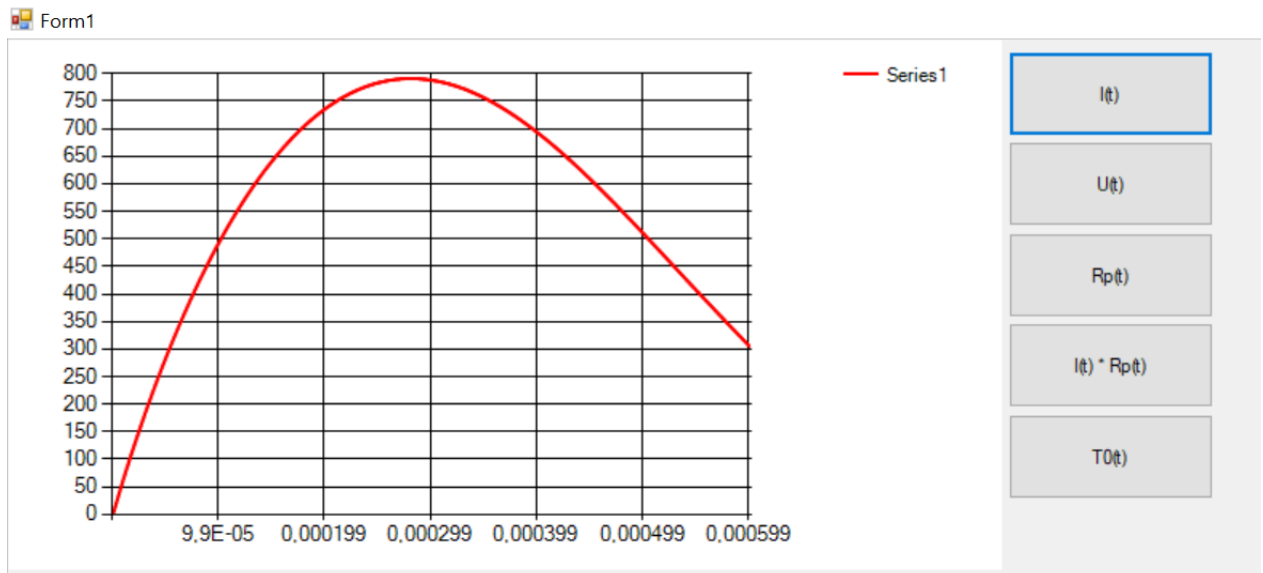


Рисунок 2.1: график $I(t)$

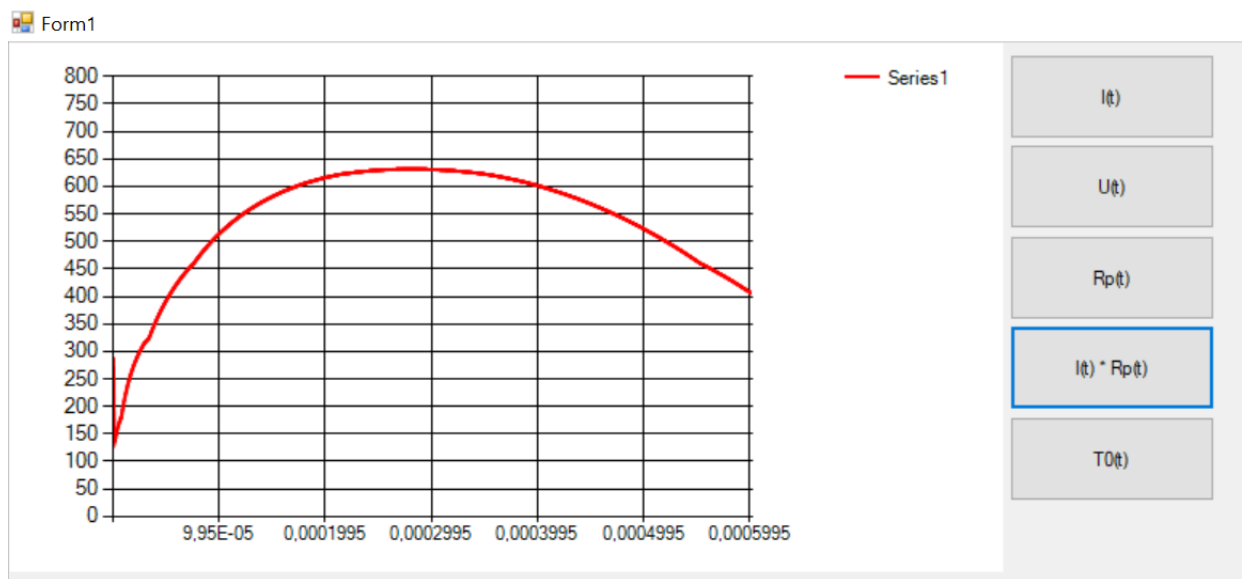


Рисунок 2.2: график $I(t) * R_p(t)$

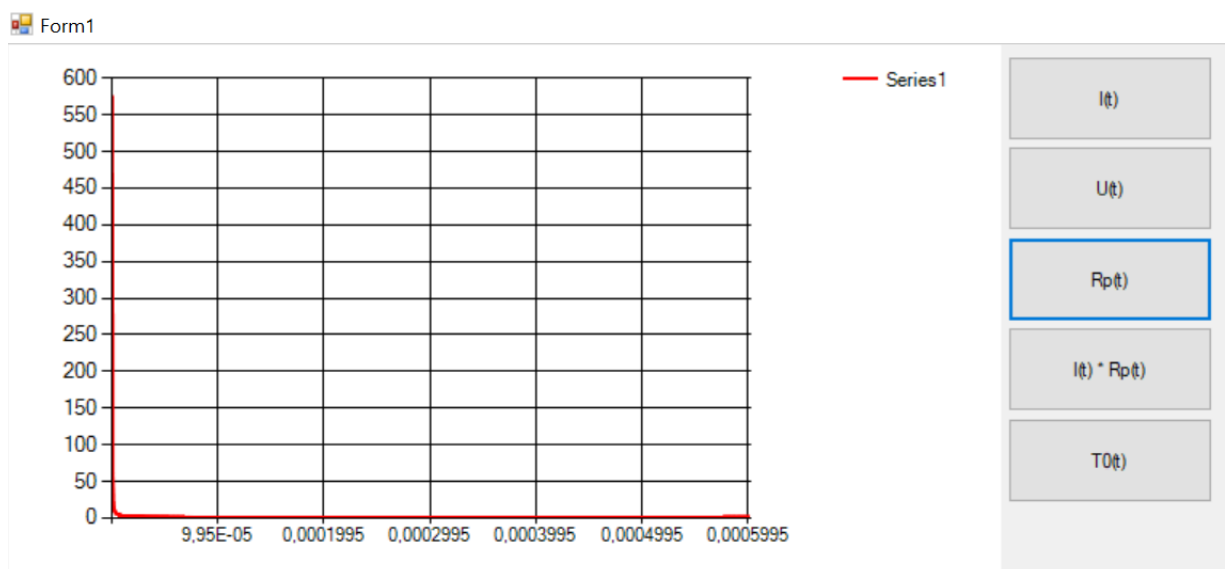


Рисунок 2.3: график $R_p(t)$

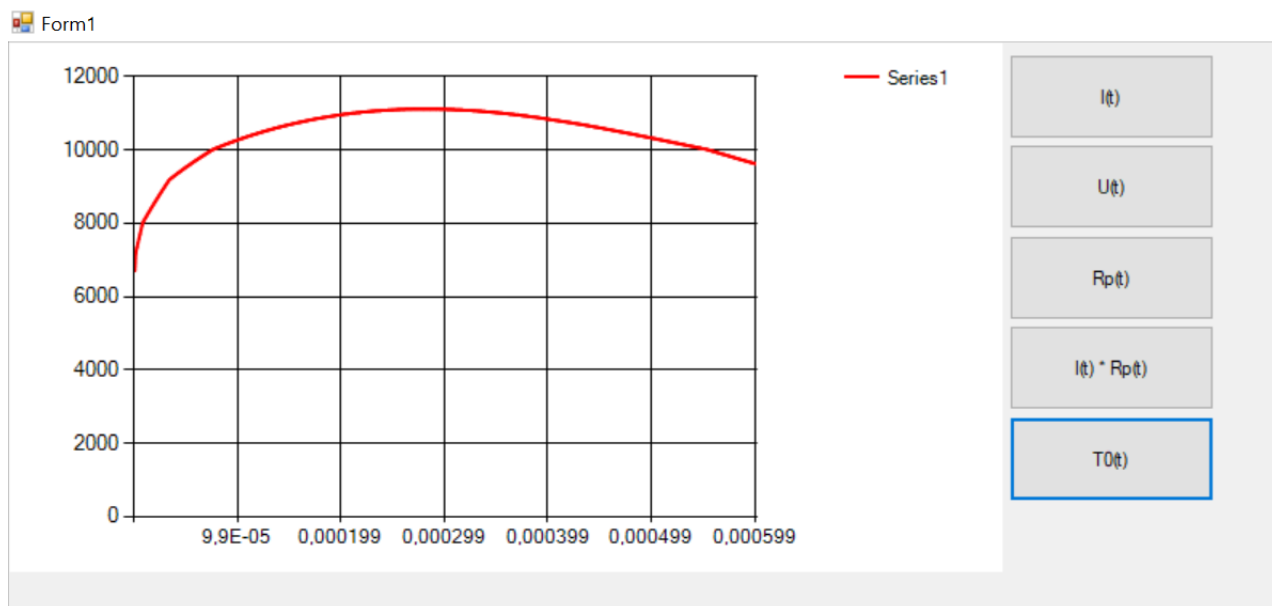


Рисунок 2.4: график $T_0(t)$

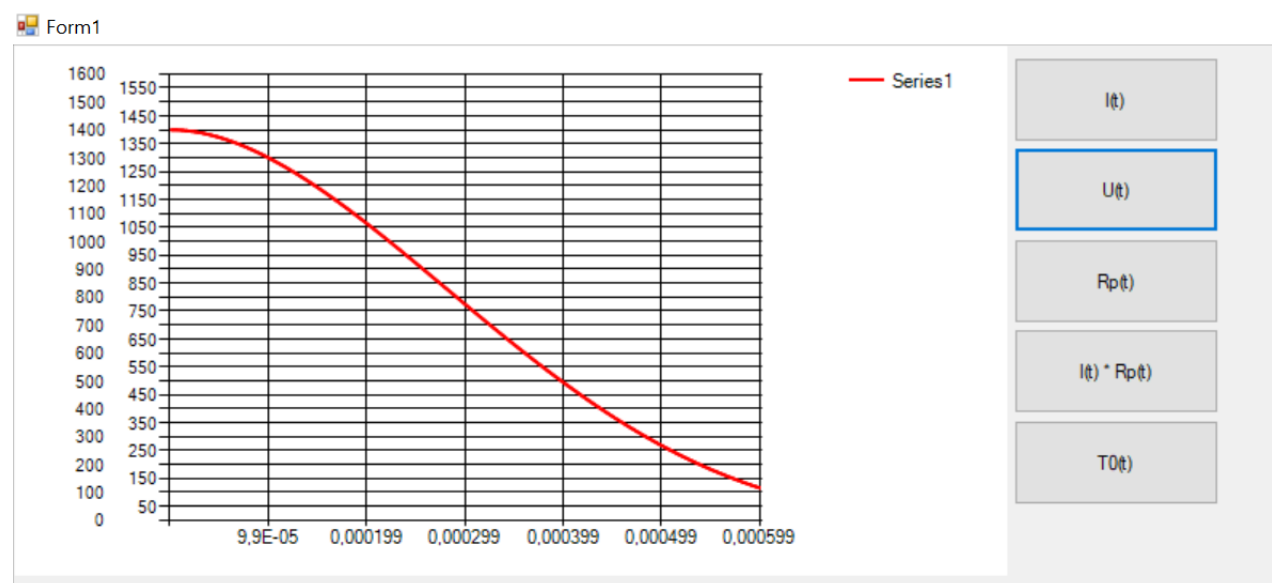


Рисунок 2.5: график $U(t)$

Графики зависимостей $I(t)$, $U(t)$, $R_p(t)$, $I(t) * R_p(t)$ при $R_k + R_p = 0$ приведены на рисунке 2.6:

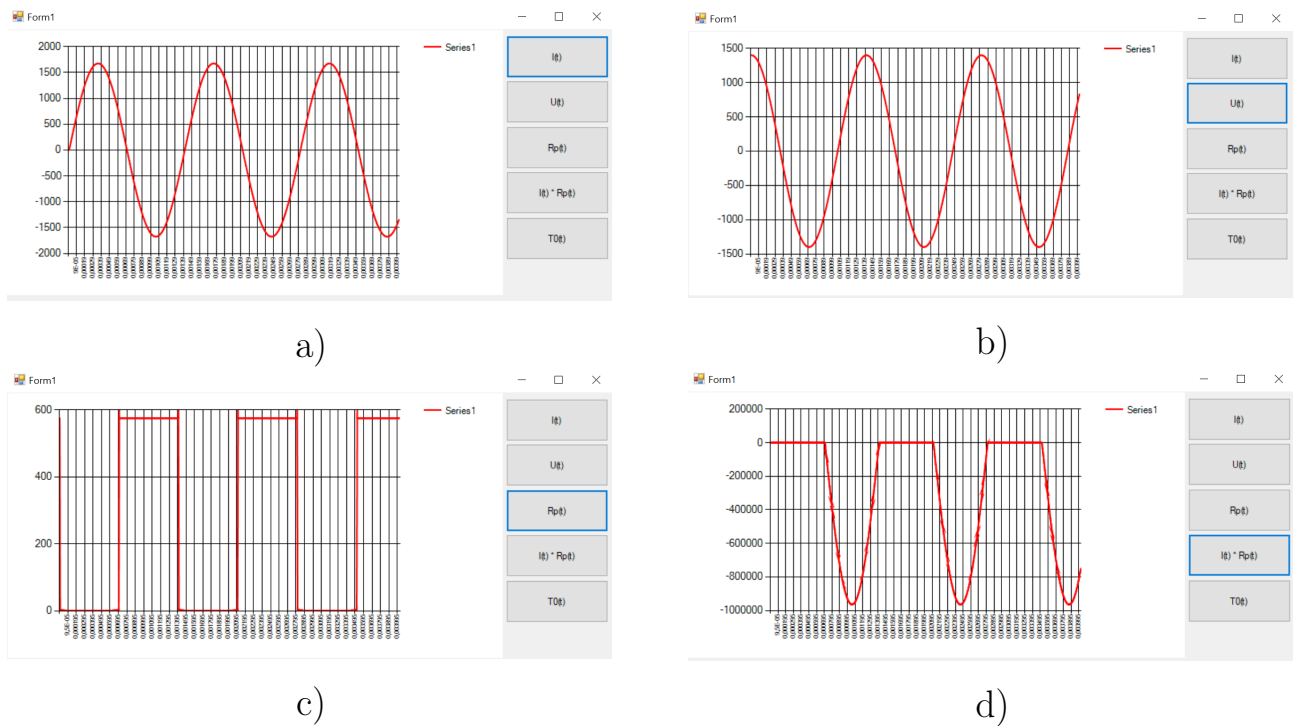
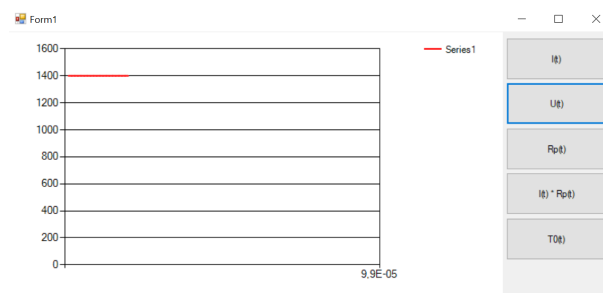


Рисунок 2.6: Графики: а) $I(t)$, б) $U(t)$, в) $R_p(t)$, г) $I(t) * R_p(t)$.

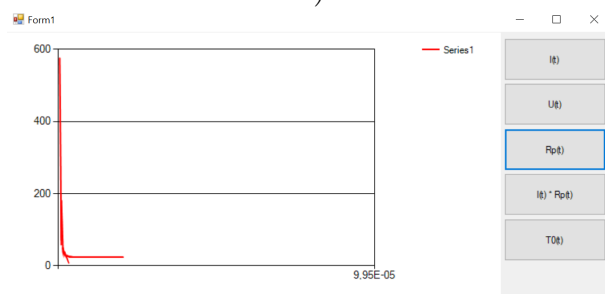
Графики зависимости $I(t)$, $U(t)$, $R_p(t)$, $I(t)*R_p(t)$ при $R_k = 200$ Ом в интервале значений t 0-20 мкс приведены на рисунке 2.7



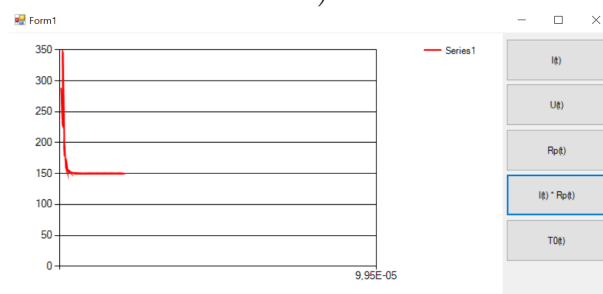
a)



b)



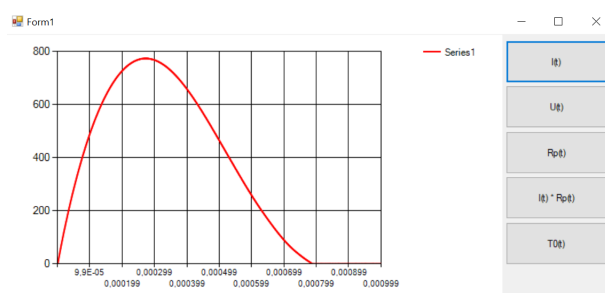
c)



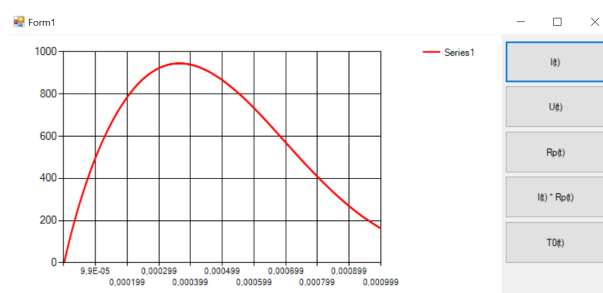
d)

Рисунок 2.7: Графики: а) $I(t)$, б) $U(t)$, в) $R_p(t)$, г) $I(t) * R_p(t)$.

Результаты исследования влияния параметров контура C_k, L_k, R_k на длительность импульса t имп. апериодической формы.



a)



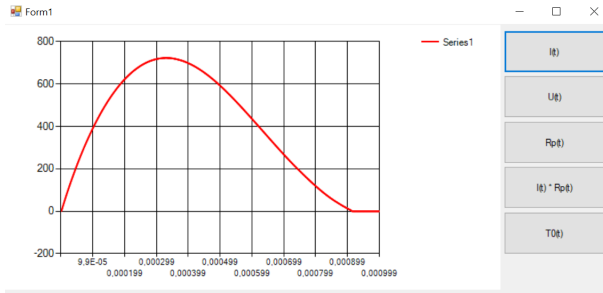
b)

Рисунок 2.8: Графики: а) $C_k = 0,00025$, б) $C_k = 0,0005$

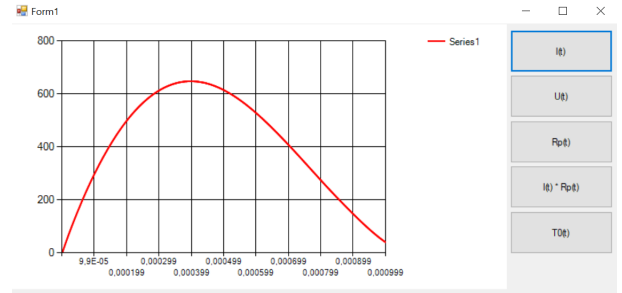
а) $C_k = 0.000250 \Delta t = 0.000536$

б) $C_k = 0.000500 \Delta t = 0.000804$

При увеличении k в 2 раза, Δt увеличилось в 1.5 раза



a)



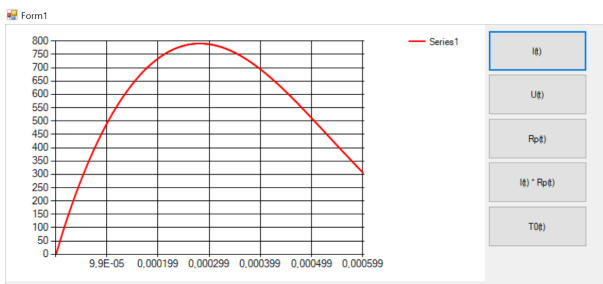
b)

Рисунок 2.9: Графики: а) $L_k = 0.000250$, б) $L_k = 0.000350$

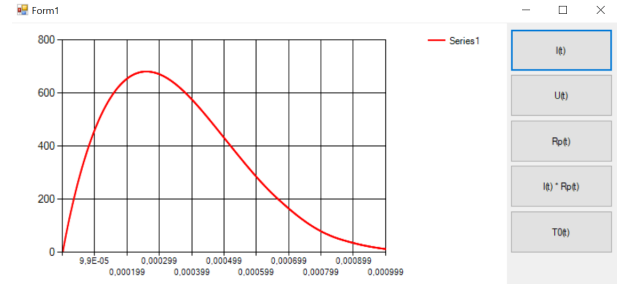
а) $L_k = 0.000250 \Delta t = 0.000536$

б) $L_k = 0.000350 \Delta t = 0.000777$

При увеличении L_k в 1.4 раза, Δt увеличилось в 1.45 раза



a)



b)

Рисунок 2.10: Графики: а) $R_k = 0.25$, б) $R_k = 0.5$

$R_k = 0.25 \Delta t = 0.000575$

$R_k = 0.5 \Delta t = 0.000715$

При увеличении R_k в 2 раза, Δt увеличилось в 1.24 раза

3 Ответы на вопросы

1. Какие способы тестирования программы, кроме указанного в п.2, можете предложить еще?

Для тестирования данной программы можно сравнить результаты работы методов разной точности, например, усовершенствованный метод Эйлера, который имеет 2-й порядок точности и меньшую погрешность, чем метод Эйлера 1-го порядка.

Так же для решения поставленной задачи можно воспользоваться приближенным аналитическим методом, например, методом Пикара.

2. Получите систему разностных уравнений для решения сформулированной задачи неявным методом трапеции. Опишите алгоритм реализации полученных уравнений.

Рассмотрим выражение $u'(x) = f(x)$

Проинтегрируем обе части от x_n до x_{n+1} :

$$\int_{x_n}^{x_{n+1}} \frac{du}{dx} dx = \int_{x_n}^{x_{n+1}} f(x) dx$$

Взяв интеграл, получим:

$$u_n + 1 - u_n = \int_{x_n}^{x_{n+1}} f(x) dx$$

$$u_n + 1 = u_n + \int_{x_n}^{x_{n+1}} f(x) dx$$

Вычислим интеграл методом трапеций:

$$y_n + 1 = y_n + h * \left(\frac{f(x_n) + f(x_{n+1})}{2} \right)$$

Применим данный метод к нашей задаче. По условию задана система уравнений:

$$\begin{cases} \frac{dI}{dT} = \frac{U - (R_k + R_p(I))I}{L_k} \\ \frac{dU}{dt} = -\frac{I}{C_k} \end{cases}$$

Начальные условия: $t = 0, I = I_0, U_c = U_0$.

Введём обозначения: $\frac{dI}{dT} \equiv f_1(I, U); \frac{dU}{dt} \equiv f_2(I)$.

Воспользуемся методом трапеций, получим:

$$\left\{ \begin{array}{l} I_{n+1} = I_n + h(\frac{f_1(I_n, U_n) + f_1(I_{n+1}, U_{n+1})}{2}) \\ U_{n+1} = U_n + h(\frac{f_2(I_n) + f_2(I_{n+1})}{2}) \\ t = 0 \\ I = I_0 \\ U = U_0 \end{array} \right.$$

Подставим выражения $f_1(I, U)$ и $f_2(I)$:

$$I_{n+1} = I_n + h(\frac{U_n - (R_k + R_p(I_n))I_n + U_{n+1} - (R_k + R_p(I_{n+1}))I_{n+1}}{2L_k})$$

$$U_{n+1} = U_n - h(\frac{I_n + I_{n+1}}{2C_k})$$

Подставим выражение для U_{n+1} из второго уравнения в первое и решим относительно I_{n+1} . Получится выражение, которое решается методом простой итерации. Зная начальные условия и подставив их, мы можем получить I_1 , которое затем можно подставить в (2), чтобы получить U_1 . Последующие приближения можно получить таким же образом. Этот процесс продолжаем, пока не будет достигнута необходимая точность, то есть пока $|I_{n+1} - I_n| > \epsilon$.

3. Из каких соображений проводится выбор численного метода того или иного порядка точности, учитывая, что чем выше порядок точности метода, тем он более сложен и требует, как правило, больших ресурсов вычислительной системы?

Для метод четвёртого порядка точности должны быть четвёртые производные ограниченные, то есть правая часть должна быть непрерывна и ограничена вместе со своими четвёртыми производными. Если это не так, то метод четвёртого порядка точности не обеспечивает этот порядок. Для метода второго порядка правая часть должна быть непрерывна и ограничена вместе со своими производными до второго порядка. Если это не так, то метод второго порядка точности не обеспечивают этот порядок и следует использовать метод Эйлера.

4. Можно ли метод Рунге-Кутта применить для решения задачи, в которой часть условий задана на одной границе, а часть на другой? Например, напряжение по-прежнему задано при $t = 0$, т.е. $t = 0, U = U_0$, а ток задан в другой момент времени, к примеру, в конце импульса, т.е. при $t = T, I = IT$. Какой можете предложить алгоритм вычислений?

Можно, только сначала нужно методом стрельбы свести эту задачу к задаче Коши для заданной системы уравнений, затем применить метод Рунге-Кутта. В заданном примере нужно найти значение напряжения в момент времени $t = T$, такое чтобы

выполнялось краевое условие для тока $I = IT$.